

# Proiect Modelare și Simulare

## Modelul mișcării unui satelit

Bolohan Marian-Cristian  
333AB

December 2024

# Cuprins

<b>1</b>	<b>Descrierea modelului</b>	<b>3</b>
1.1	Modelul dat . . . . .	3
<b>2</b>	<b>Etapele de realizare a proiectului</b>	<b>4</b>
2.1	Cerința 1 . . . . .	4
2.2	Cerința 2 . . . . .	4
2.3	Cerința 3 . . . . .	6
2.4	Cerința 4 . . . . .	6
2.5	Cerința 5 . . . . .	8
2.6	Cerința 6 . . . . .	9
2.7	Cerința 7 . . . . .	10
2.8	Cerința 8 . . . . .	11
2.9	Cerința 9 . . . . .	12
2.10	Cerința 10 . . . . .	14
2.11	Cerința 11 . . . . .	16

# 1 Descrierea modelului

Acest proiect constă în realizarea unui model format dintr-un satelit care orbitează Pământul și simularea acestuia pe baza cerințelor impuse. Pentru vectorul de poziție  $r(t) = [x(t) \ y(t) \ z(t)]^\top$  mișcarea acestui satelit poate fi aproximată cu soluția sistemului de ecuații diferențiale:

$$\ddot{r}(t) = \underbrace{-\frac{GM_\oplus}{\|r\|_2^2} \frac{r}{\|r\|_2} - \frac{3}{2} J_2 GM_\oplus \frac{R_\oplus^2}{\|r\|_2^5} \begin{bmatrix} \frac{x-5xz^2}{\|r\|_2^2} \\ \frac{y-5yz^2}{\|r\|_2^2} \\ \frac{3z-5z^3}{\|r\|_2^2} \end{bmatrix}}_{g(t, r(t), \dot{r}(t))} + \omega_\oplus^2 \begin{bmatrix} x \\ y \\ 0 \end{bmatrix} + 2\omega_\oplus \begin{bmatrix} \dot{y} \\ -\dot{x} \\ 0 \end{bmatrix}, r(t_0) = r_0, \dot{r}(t_0) = \dot{r}_0$$

unde constantele au valorile din Tabelul 1.1

Simbol	Semnificație	Valoare	Unitate
$G$	constanta gravitațională universală	$6.674 \cdot 10^{-11}$	$\text{N m}^2 \text{kg}^{-2}$
$M_\oplus$	masa Pământului	$5.972 \cdot 10^{24}$	kg
$R_\oplus$	raza Pământului	6371000	m
$J_2$	coeficient gravitațional	$1.08262668 \cdot 10^{-3}$	—
$\omega_\oplus$	viteza unghiulară a Pământului	$7.2921 \cdot 10^{-5}$	$\text{rad} \cdot \text{s}^{-1}$

Tabela 1.1: Valorile constantelor

## 1.1 Modelul dat

Se consideră doi sateliți care orbitează Pământul, cu vectorii de poziție  $r_1(t)$  și  $r_2(t)$ . Modelul este descris de:

$$\ddot{r}_1(t) = g(t, r_1(t), \dot{r}_1(t)) + u(t), \quad (1.1a)$$

$$\ddot{r}_2(t) = g(t, r_2(t), \dot{r}_2(t)), \quad (1.1b)$$

$$\dot{\varepsilon}(t) = \frac{\|r_1(t) - r_2(t)\|_2}{\|r_2(t)\|_2}, \quad (1.1c)$$

$$y(t) = \varepsilon(t). \quad (1.1d)$$

Condițiile inițiale sunt:

$$r_1(t_0) = 10^6 \cdot [-3.111566746661099 \quad 2.420733547442338 \quad -5.626803092559423]^\top,$$

$$\dot{r}_1(t_0) = 10^3 \cdot [4.953572247000772 \quad -3.787243278806948 \quad -4.362500902062312]^\top,$$

$$r_2(t_0) = 10^6 \cdot [-3.422723421327209 \quad 2.662806902186572 \quad -6.189483401815366]^\top,$$

$$\dot{r}_2(t_0) = 10^3 \cdot [5.448929471700850 \quad -4.165967606687643 \quad -4.798750992268544]^\top.$$

## 2 Etapele de realizare a proiectului

### 2.1 Cerința 1

În cadrul primei cerințe am ales condiția inițială:

$$\varepsilon(t_0) = 10^4$$

De asemenea, am ales și valoarea  $k = 5$  definită în semnalul exogen  $u(t) = k \cdot 10^{-3} \cdot 1(t)$ .

```
1 clc; clear; close all
2 load valori.mat
3 %% Cerinta 1
4 epsilon0 = 1e4;
5 k = 5;
```

### 2.2 Cerința 2

Implementarea modelului folosind blocuri Integrator și Matlab Function este prezentată în Figura 2.1.

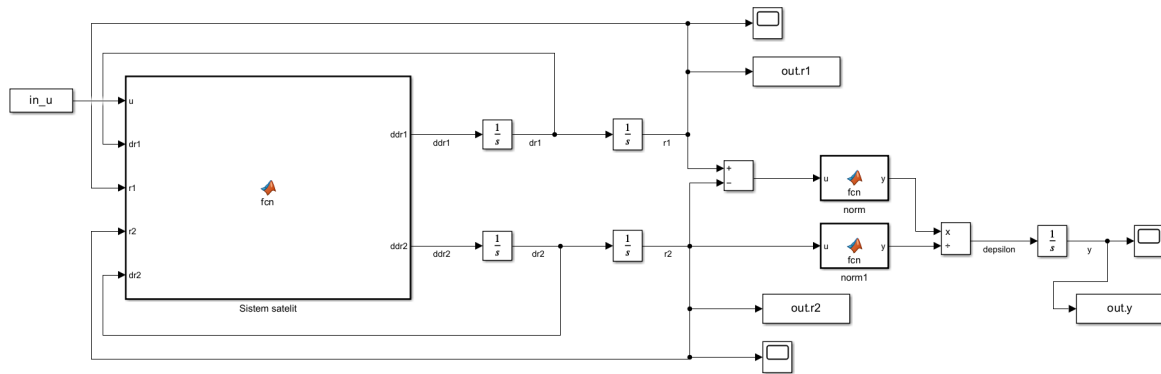


Figura 2.1: Implementarea modelului folosind blocuri Integrator și Matlab Function

Implementarea blocului Matlab Function numit *Sistem satelit* a fost realizată folosind următorul cod:

```
1 function [ddr1, ddr2]= fcn(u, dr1, r1, r2, dr2)
2
3 G = 6.674e-11;
4 Mp = 5.972e24;
5 Rp = 6371000;
6 J2 = 1.08262668e-3;
7 omegap = 7.2921e-5;
8
9 ddr1 = -((G*Mp)/norm(r1)^2) .* (r1/norm(r1)) - ...
10 (3/2 * J2 * G * Mp * Rp^2 / norm(r1)^5) .* ...
```

```

11      [(r1(1) - 5 * r1(1) * r1(3)^2)/norm(r1)^2;
12      (r1(2) - 5 * r1(2) * r1(3)^2)/norm(r1)^2;
13      (r1(3) - 5 * r1(3) * r1(3)^2)/norm(r1)^2] + ...
14      omegap^2 .* [r1(1); r1(2); 0] + ...
15      2*omegap .* [dr1(2); -dr1(1); 0] + ...
16      u;
17
18 ddr2 = -((G*Mp)/norm(r2)^2) .* (r2/norm(r2)) - ...
19      (3/2 * J2 * G * Mp * Rp^2 / norm(r2)^5) .* ...
20      [(r2(1) - 5 * r2(1) * r2(3)^2)/norm(r2)^2;
21      (r2(2) - 5 * r2(2) * r2(3)^2)/norm(r2)^2;
22      (r2(3) - 5 * r2(3) * r2(3)^2)/norm(r2)^2] + ...
23      omegap^2 .* [r2(1); r2(2); 0] + ...
24      2*omegap .* [dr2(2); -dr2(1); 0];

```

iar a blocurilor numite *Norm* și *Norm1*:

```

1 function y = fcn(u)
2 y = norm(u);

```

Ieșirea sistemului la intrarea  $u(t)$ , pentru timpul de simulare  $T_{max} = 50000$ , este ilustrată în Figura 2.2:

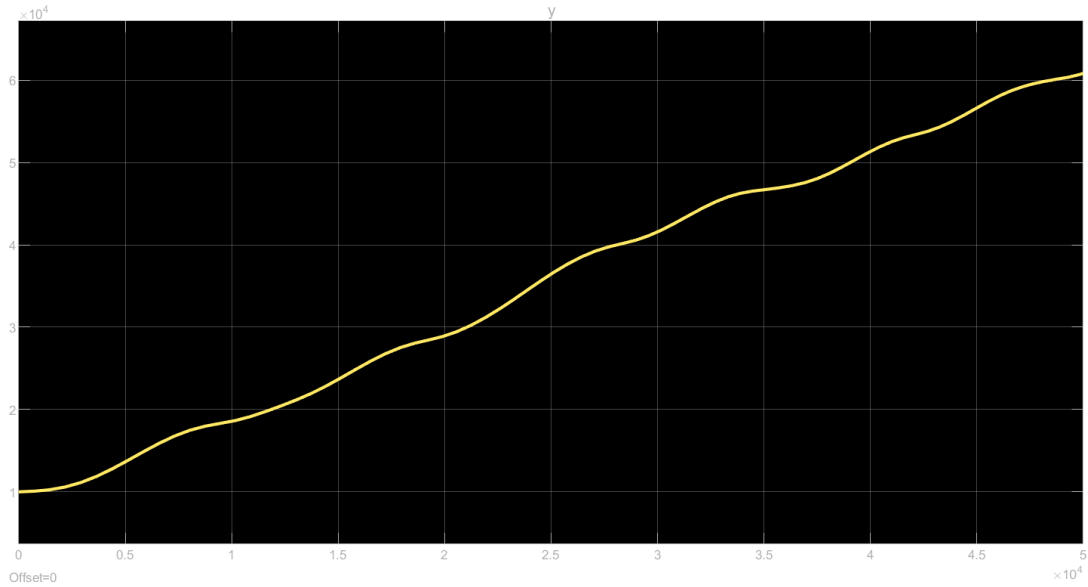


Figura 2.2: Ieșirea sistemului la intrarea  $u(t)$

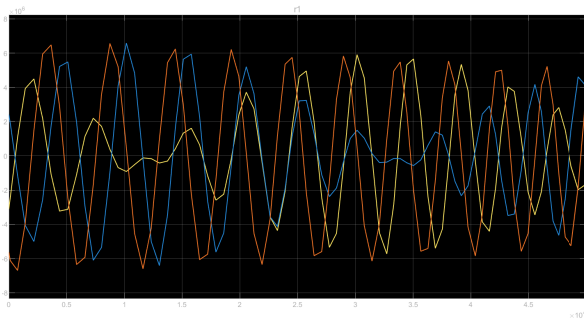


Figura 2.3: Vizualizare  $r_1$

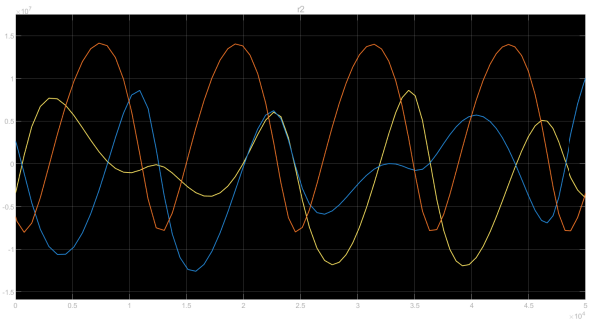


Figura 2.4: Vizualizare  $r_2$

## 2.3 Cerința 3

Pentru a rearanja sistemul de ecuații sub forma unui sistem de ecuații diferențiale de ordinul I, i.e.  $\frac{d}{dt}x(t) = f(t, x(t))$ , am realizat următoarele calcule:

$$\ddot{r}(t) = g(t, r(t), \dot{r}(t))$$

$$x(t) = \begin{bmatrix} r(t) \\ \dot{r}(t) \end{bmatrix} \Rightarrow \dot{x}(t) = \begin{bmatrix} \dot{r}(t) \\ g(t, r(t), \dot{r}(t)) \end{bmatrix} \quad (2.1)$$

Ecuatia 2.1 este modelul pentru un singur satelit. Atunci modelul pentru cei doi sateliți este dat de ecuația 2.2.

$$\dot{x}(t) = \begin{bmatrix} \dot{x}_1(t) \\ \dot{x}_2(t) \\ \dot{\varepsilon}(t) \end{bmatrix} = \underbrace{\begin{bmatrix} \dot{r}_1(t) \\ g(t, r_1(t), \dot{r}_1(t)) \\ \dot{r}_2(t) \\ g(t, r_2(t), \dot{r}_2(t)) \\ \frac{\|r_1(t) - r_2(t)\|_2}{\|r_2(t)\|_2} \end{bmatrix}}_{f(t, x(t))} + \begin{bmatrix} 0 \\ 1 \\ 0 \\ 0 \\ 0 \end{bmatrix} \cdot u(t) \quad (2.2)$$

Codul Matlab necesar implementării acestei funcții este:

```
1 %% Cerinta 3
2 g = @(t, r, dr) -((G*Mp)/norm(r)^2) .* (r/norm(r)) - ...
3     (3/2 * J2 * G * Mp * Rp^2 / norm(r)^5) .* ...
4     [(r(1) - 5 * r(1) * r(3)^2)/norm(r)^2;
5      (r(2) - 5 * r(2) * r(3)^2)/norm(r)^2;
6      (r(3) - 5 * r(3) * r(3)^2)/norm(r)^2] + ...
7     omegap^2 .* [r(1); r(2); 0] + ...
8     2*omegap .* [dr(2); -dr(1); 0];
9
10 f = @(t, x) [x(4:6); g(t, x(1:3), x(4:6)); x(10:12); g(t, x(7:9), x(10:12));
    norm(x(1:3) - x(7:9))/norm(x(7:9))];
```

## 2.4 Cerința 4

Pentru a rezolva sistemul diferențial rezultat anterior, am implementat metoda **Runge-Kutta** de ordinul patru:

$$x(t+h) \approx x(t) + \frac{h}{6}(k_1 + 2k_2 + 2k_3 + k_4),$$

$$k_1 = f(t, x(t)),$$

$$k_2 = f\left(t + \frac{h}{2}, x(t) + \frac{hk_1}{2}\right),$$

$$k_3 = f\left(t + \frac{h}{2}, x(t) + \frac{hk_2}{2}\right),$$

$$k_4 = f(t+h, x(t) + hk_3).$$

având implementarea în Matlab:

```
1 %% Cerinta 4
2 % pas de integrare si Tmax
3 Tmax = 50000;
4 h = 1;
5 % variabile de start
6 x = [r1_0; dr1_0; r2_0; dr2_0; epsilon0];
```

```

7 t = 0;
8 num_steps = ceil(Tmax / h);
9 X = zeros(size(x, 1), num_steps);
10 T = zeros(1, num_steps);
11 % Metoda Runge-Kutta
12 i = 1;
13 while t < Tmax
14     k1 = f(t, x);
15     k2 = f(t + h/2, x + h*k1/2);
16     k3 = f(t + h/2, x + h*k2/2);
17     k4 = f(t + h, x + h*k3);
18
19     X(:, i) = x;
20     T(i) = t;
21     x = x + h/6 * (k1 + 2*k2 + 2*k3 + k4);
22     t = t + h;
23     i = i + 1;
24 end
25
26 r1 = X(1:3, :);
27 r2 = X(7:9, :);

```

Am comparat ulterior, rezultatele metodei cu cele din Simulink, din care reiese faptul că metoda este eficientă, nu există diferențe vizibile între cele două rezultate:

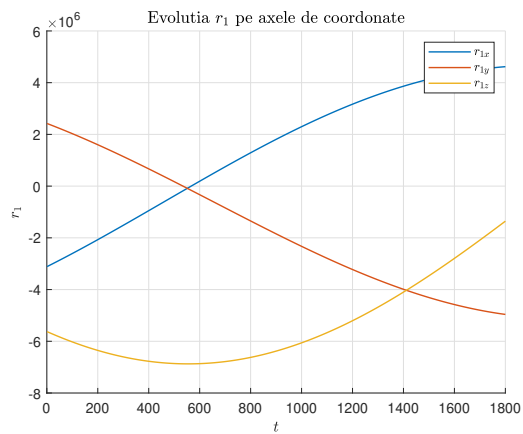


Figura 2.5: Rezultate Runge-Kutta pentru  $r_1$

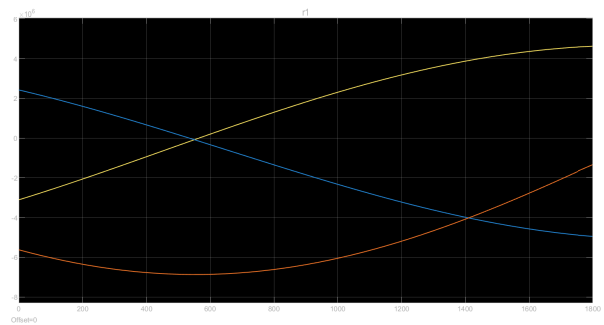


Figura 2.6: Rezultate Simulink pentru  $r_1$

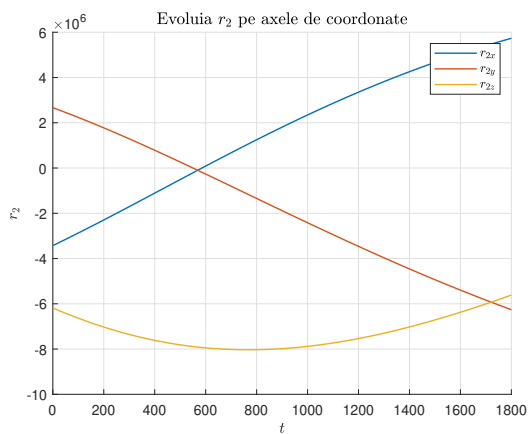


Figura 2.7: Rezultate Runge-Kutta pentru  $r_2$

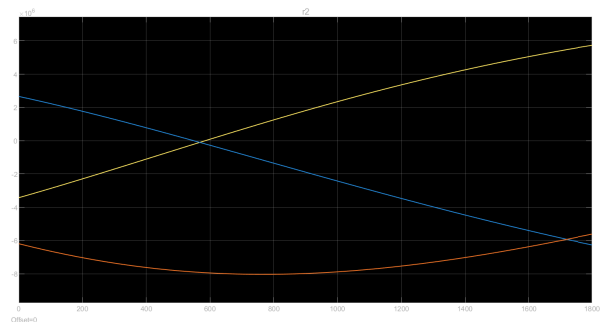


Figura 2.8: Rezultate Simulink pentru  $r_1$

## 2.5 Cerința 5

Pentru a putea vizualiza în Matlab orbita sateliților  $r_1$  și  $r_2$ , am folosit următoarea secvență de cod, unde a fost definit și semnalul de intrare  $u(t)$ :

```
1 % Simulink
2 mdl = 'satelit_mdl';
3 % intrarea
4 t = 0:h:Tmax;
5 u = k * 1e-3 * double(t>=0);
6 in_u = timeseries(u, t);
7
8 % iesirea
9 load_system(mdl);
10 set_param(mdl, "StopTime", num2str(Tmax));
11 out = sim(mdl);
12
13 slx_r1 = squeeze(out.r1.Data);
14 slx_r2 = squeeze(out.r2.Data);
```

Nu au existat diferențe vizibile între cele două metode, pentru  $Tmax = 1800$ :

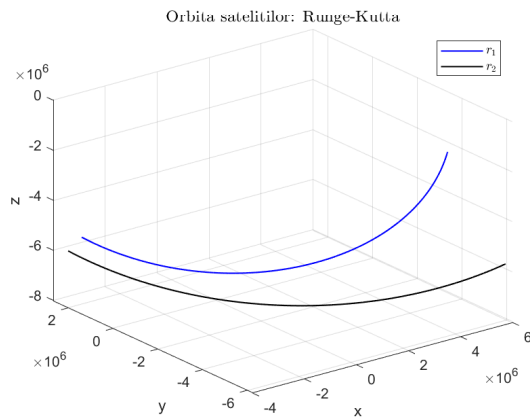


Figura 2.9: Rezultate Runge-Kutta

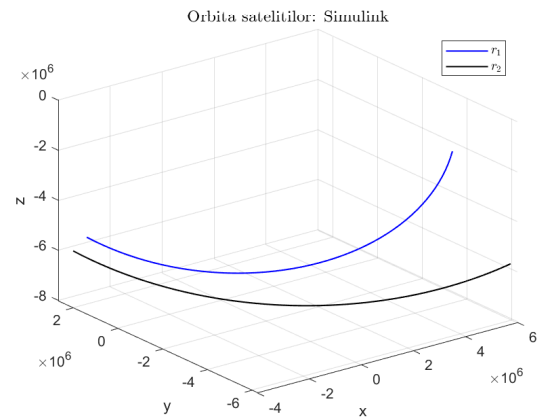


Figura 2.10: Rezultate Simulink

Pentru  $Tmax = 50000$ , apar anumite diferențe datorate timpului de eșantionare din Simulink:

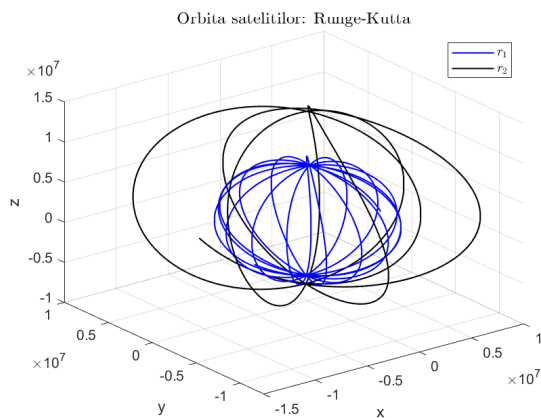


Figura 2.11: Rezultate Runge-Kutta

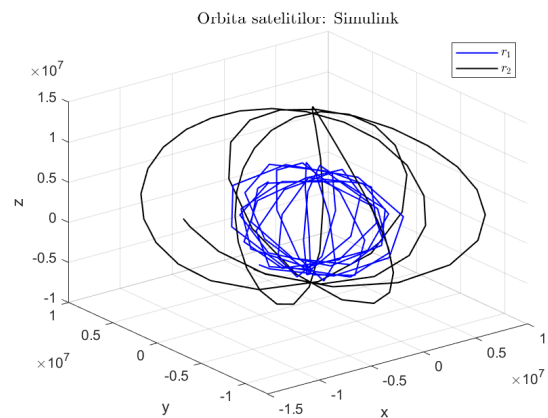


Figura 2.12: Rezultate Simulink



Pentru a rezolva aceste diferențe care apar la timpuri mari de simulare, am interpolat ieșirea din Simulink:

```
1 % Interpolare rezultat Simulink, pentru un plot mai fin
2 % Acest lucru este vizibil la Tmax mare
3 num_points = size(slx_r1, 2);
4 t_original = linspace(0, 1, num_points);
5 t_fine = linspace(0, 1, num_points * 10);
6
7 slx_r1_smooth = interp1(t_original, slx_r1', t_fine, 'spline');
8 slx_r2_smooth = interp1(t_original, slx_r2', t_fine, 'spline');
```

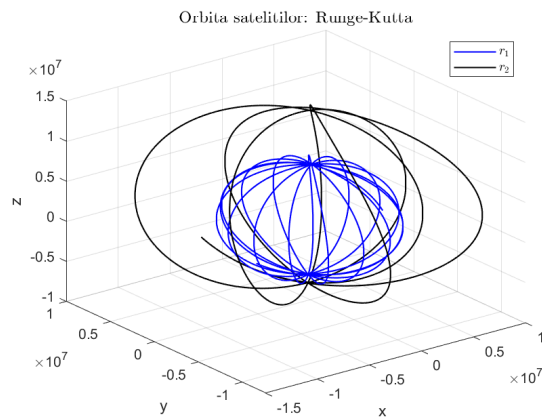


Figura 2.13: Rezultate Runge-Kutta

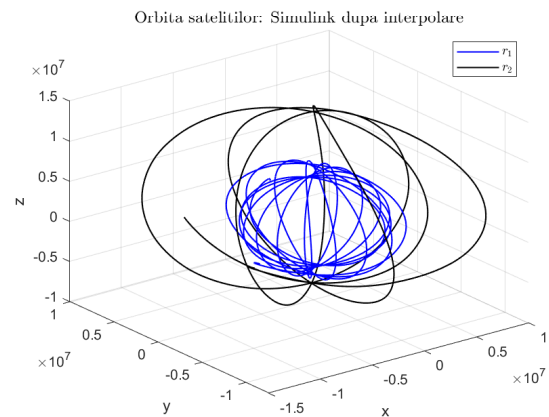


Figura 2.14: Rezultate Simulink după interpolare

## 2.6 Cerința 6

Pentru a plota ieșirea  $y(t) = \varepsilon(t)$ , am extras ultimul element din vectorul de stare, pentru metoda Runge-Kutta.

Pentru ieșirea din Simulink, am interpolat rezultatul pe întreg suprotul de timp pentru a obține un grafic relevant:

```
1 %% Cerinta 6
2 y_rk = X(13, :);
3
4 y_slx = squeeze(out.y.Data);
5
6 % interpolare
7 num_points = size(y_rk, 2);
8 t_original = linspace(0, 1, size(y_slx, 1));
9 t_fine = linspace(0, 1, num_points);
10 y_slx_smooth = interp1(t_original, y_slx', t_fine, 'spline');
```

Eroarea de întregare a fost calculată ca:

$$\epsilon(t) = \|y^{Slx}(t) - y^{RK}(t)\|_2$$

```
1 e = vecnorm(y_rk - y_slx_smooth, 2, 1);
```

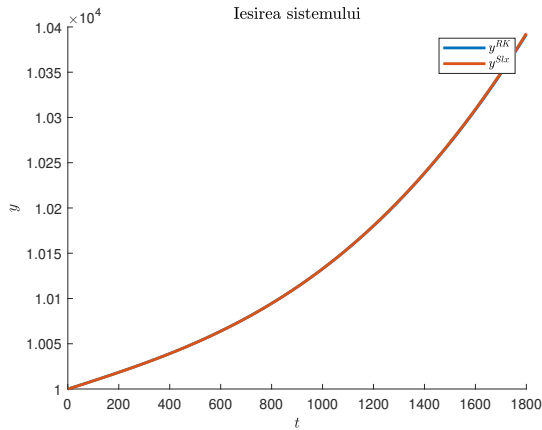


Figura 2.15: Ieșirile rezultate prin cele două metode

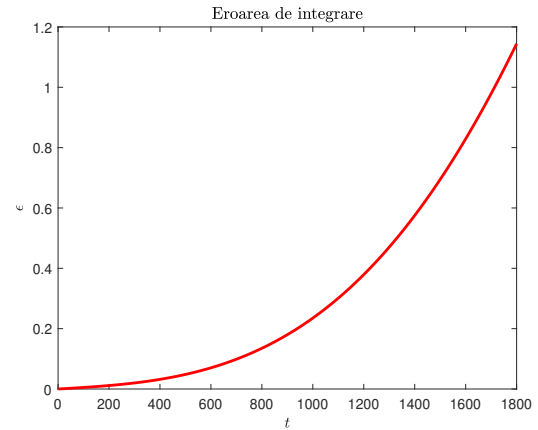


Figura 2.16: Eroarea de integrare

Se poate observa că eroarea de integrare este foarte mică, la momentul final  $T_{max} = 1800$ , acesta având valoarea,  $\epsilon = 1.2$ , aproximativ 0.01% din valoarea finală a lui  $y^{RK}$ .

## 2.7 Cerința 7

Pentru a trasa caracteristica statică  $\epsilon^*(u^*)$ , am variat parametrul  $k$ , de care depinde  $u$ , pentru a crea mai multe semnale  $u^*$ .

$$k = [5 \quad 10 \quad 50 \quad 100 \quad 250 \quad 500]$$

```

1 t = 0:h:Tmax;
2 k_star = [5, 10, 50, 100, 250, 500]; % pentru u_star
3 epsilon_star = zeros(1, numel(k_star));
4 u_star = zeros(1, numel(k_star));
5
6 for i = 1:numel(k_star)
7     u = k_star(i) * 1e-3 * double(t>=0);
8     in_u = timeseries(u, t);
9
10    out = sim mdl;
11    epsilon_out = squeeze(out.y.Data);
12
13    epsilon_star(i) = epsilon_out(end);
14    u_star(i) = u(end);
15 end

```

Caracteristica statică rezultată este ilustrată în Figura 2.17

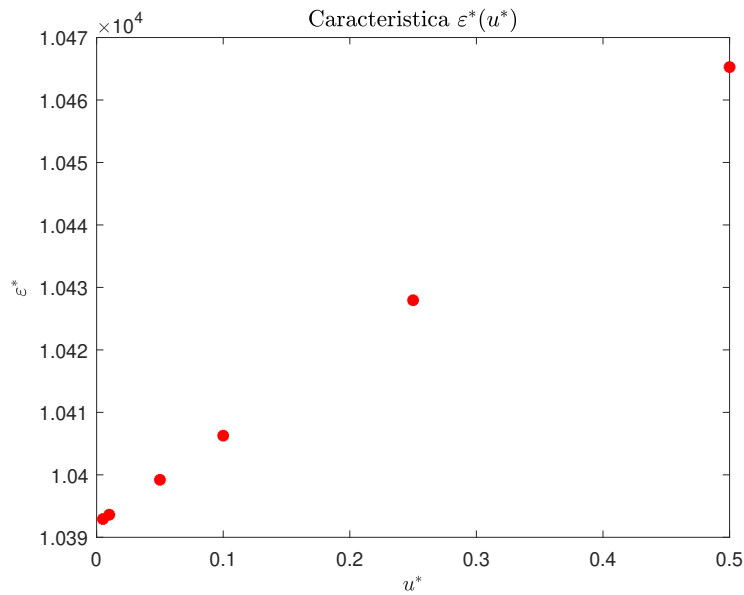


Figura 2.17: Caracteristica statică  $\varepsilon^*(u^*)$

## 2.8 Cerința 8

Din Figura 2.17 se observă liniaritatea caracteristicii, astfel pentru determinarea polinomului de aproximare, am folosit funcția `polyfit`, pentru a găsi o funcție de gradul I care aproximează cel mai bine datele în sensul celor mai mici pătrate.

```

1 p = polyfit(u_star, epsilon_star, 1);
2
3 epsilon_aprox = polyval(p, u_star);

```

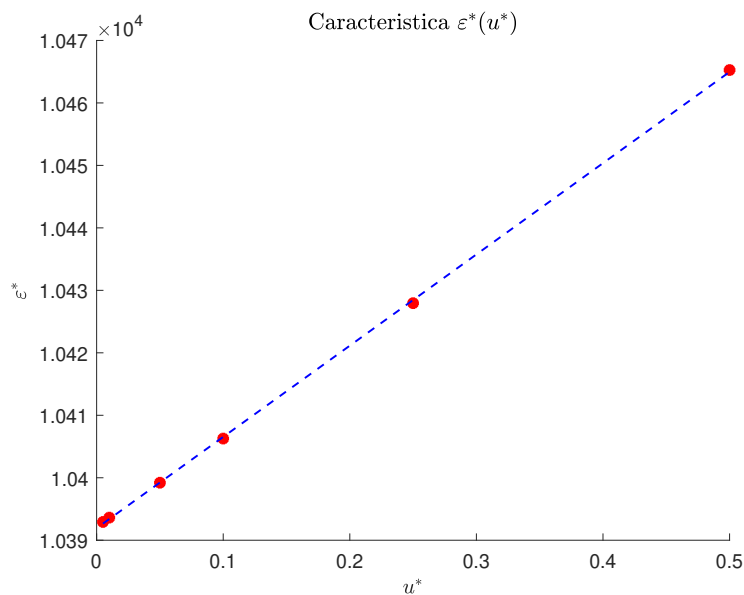


Figura 2.18: Caracteristica statică  $\varepsilon^*(u^*)$

## 2.9 Cerința 9

Folosind secvența următoare de cod, am realizat 100 de simulări pentru a urmări evoluția lui  $y(t)$ , unde condiția inițială  $r_2(t_0)$  depinde de relația:

$$\tilde{r}_2(t_0) = (1 + \alpha) \cdot r_2(t_0) , \text{ unde } \alpha \sim \mathcal{N}(0, 0.1)$$

```
1 %% Cerinta 9
2 load valori.mat % pentru a reseta valoarea lui r2_0 inainte de simulari
3 % folosim intrarea aleasa la cerinta 1
4 t = 0:h:Tmax;
5 u = k * 1e-3 * double(t>=0);
6 in_u = timeseries(u, t);
7
8 % N(0, 0.1)
9 mu = 0; % media
10 var = 0.1; % varianta
11
12 r2_0_copy = r2_0;
13 nr_iter = 100;
14 sample_size = Tmax;
15 y = zeros(nr_iter, sample_size);
16
17 figure;
18 hold on;
19 for i = 1:nr_iter
20     alpha = sqrt(var) .* randn(1, 1) + mu;
21     r2_0 = (1 + alpha) .* r2_0_copy;
22
23     out = sim mdl;
24
25     y_slx = squeeze(out.y.Data)';
26
27     % interpolare pentru a corespunde cu suportul de timp
28     t_original = linspace(0, 1, size(y_slx, 2));
29     t_fine = linspace(0, 1, sample_size);
30     y_slx_smooth = interp1(t_original, y_slx', t_fine, 'spline');
31
32     y(i, :) = y_slx_smooth;
33
34     plot(y(i, :), ':', 'HandleVisibility','off');
35 end
36
37 y_mean = mean(y, 1);
```

Rezultatul este ilustrat în Figura 2.19

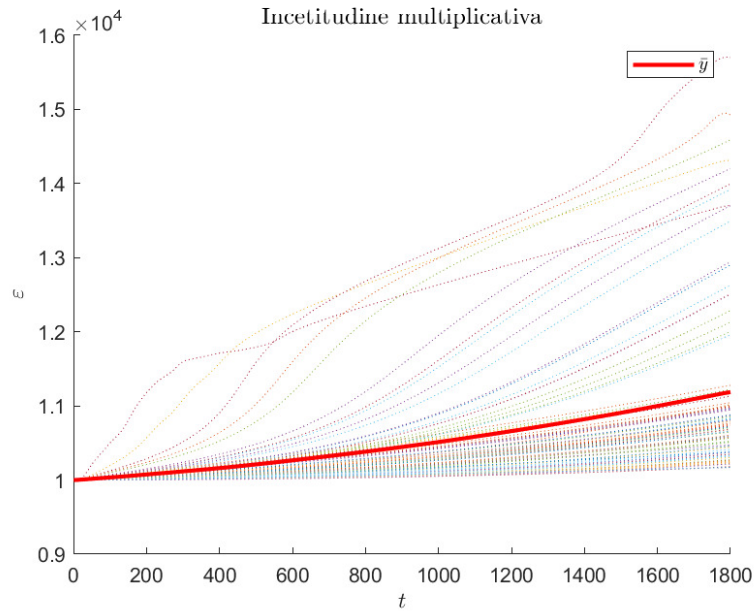


Figura 2.19: Ieșirile  $y(t)$

În continuare, am ales un prag dat de ultima valoare a mediei ieșirii  $\bar{y}$  pentru a calcula probabilitatea ca distanța relativă totală dintre sateliți  $\varepsilon(t)$  să depășească acest prag. Pentru aceste simulări pragul are valoarea de  $1.1187 \cdot 10^4$ . Astfel:

Probabilitatea ca  $\varepsilon(t)$  să depășească  $y_{\text{mean}}(\text{end}) = 11187.09$  este 22.00%

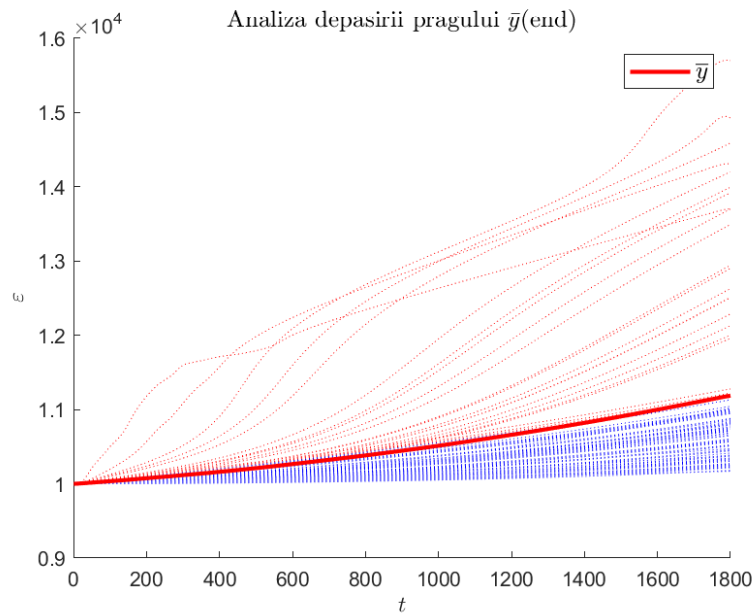


Figura 2.20: Ieșirile  $y(t)$  care depășesc pragul

## 2.10 Cerința 10

Folosind secvența următoare de cod, am realizat 100 de simulări pentru a urmări evoluția lui  $y(t)$ , unde condiția inițială  $r_2(t_0)$  depinde de relația:

$$\tilde{r}_2(t_0) = \alpha + r_2(t_0), \text{ unde } \alpha \in \mathbb{R}^3 \text{ și } \alpha_i \sim \mathcal{N}(0, 5), i = 1 : 3$$

```
1 %% Cerinta 9
2 load valori.mat % pentru a reseta valoarea lui r2_0 inainte de simulari
3 % folosim intrarea aleasa la cerinta 1
4 t = 0:h:Tmax;
5 u = k * 1e-3 * double(t>=0);
6 in_u = timeseries(u, t);
7
8 % N(0, 5)
9 mu = 0; % media
10 var = 5; % varianta
11
12 r2_0_copy = r2_0;
13
14 nr_iter = 100;
15 sample_size = Tmax;
16 y = zeros(nr_iter, sample_size);
17
18 figure;
19 hold on;
20 for i = 1:nr_iter
21     alpha = sqrt(var) .* randn(numel(r2_0), 1) + mu;
22     r2_0 = alpha + r2_0_copy;
23
24     out = sim mdl;
25
26     y_slx = squeeze(out.y.Data)';
27
28     % interpolate pentru outputuri mai mici decat sample_size
29     num_points = size(y_slx, 2);
30     t_original = linspace(0, 1, size(y_slx, 2));
31     t_fine = linspace(0, 1, sample_size);
32     y_slx_smooth = interp1(t_original, y_slx', t_fine, 'spline');
33
34     y(i, :) = y_slx_smooth;
35
36     plot(y(i, :), ':', 'HandleVisibility','off');
37 end
38
39 y_mean = mean(y, 1);
```

Incetitudinea aditivă contribuie foarte puțin, aproape neglijabil, la valorile ieșirii  $y(t)$ . Astfel, pentru o mai bună vizualizare a graficelor, am folosit comanda `xlim([1008.782 1008.795])`.

Rezultatul este ilustrat în Figura 2.21

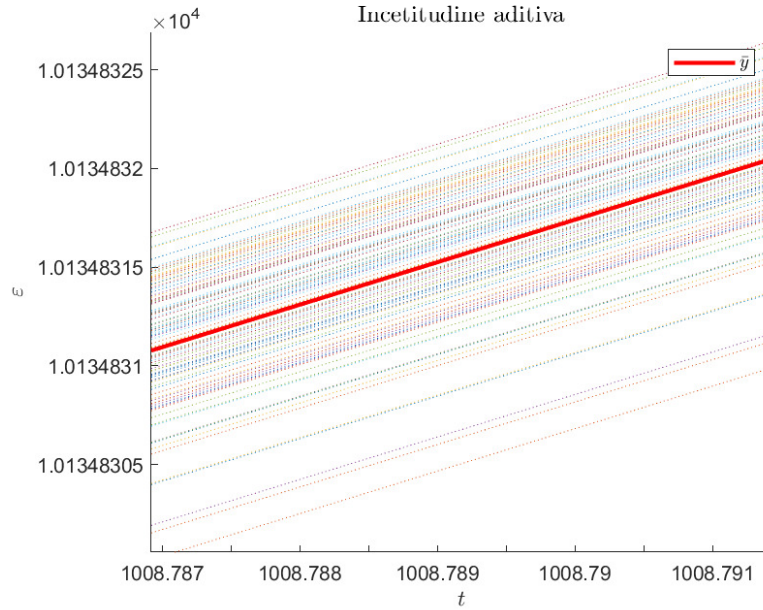


Figura 2.21: Ieșirile  $y(t)$

În continuare, am ales un prag dat de ultima valoare a mediei ieșirii  $\bar{y}$  pentru a calcula probabilitatea ca distanța relativă totală dintre sateliți  $\varepsilon(t)$  să depășească acest prag. Pentru aceste simulări pragul are valoarea de  $1.0393 \cdot 10^4$ . Astfel:

Probabilitatea ca  $\varepsilon(t)$  să depășească  $y_{\text{mean}}(\text{end}) = 10392.93$  este 52.00%

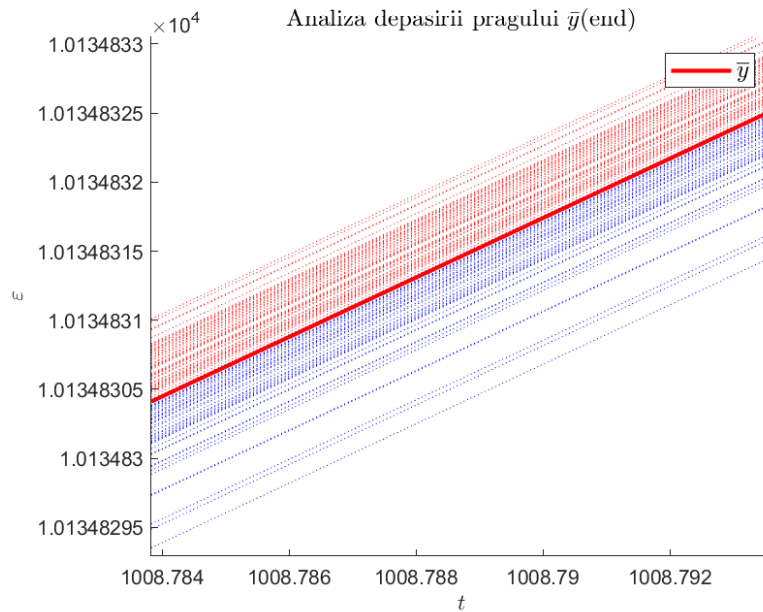


Figura 2.22: Ieșirile  $y(t)$  care depășesc pragul

## 2.11 Cerința 11

Pentru început am creat semnalul exogen  $u(t)$ , care are o distribuție normală:  $u(t) \sim \mathcal{N}(0,1)$ . Ulterior am apelat modelul din Simulink cu semnalul obținut.

```
1 %% Cerinta 11
2 t = 0:1:Tmax; t = t';
3 sample_size = Tmax;
4
5 u = randn(numel(t), 1); % apartine N(0,1)
6 in_u = timeseries(u, t);
7
8 out = sim mdl;
9
10 y_slx = squeeze(out.y.Data)';
11
12 % interpolare pentru outputuri mai mici decat sample_size
13 num_points = size(y_slx, 2);
14 t_original = linspace(0, 1, size(y_slx, 2));
15 t_fine = linspace(0, 1, sample_size);
16 y_slx_smooth = interp1(t_original, y_slx', t_fine, 'spline');
17
18 second_dy = diff(y_slx_smooth, 2);
```

Se observă în Figura 2.23, că a doua derivată discretă a ieșirii are valori foarte mici, motiv pentru care a fost utilizată comanda `ylim([-0.005 0.005])`.

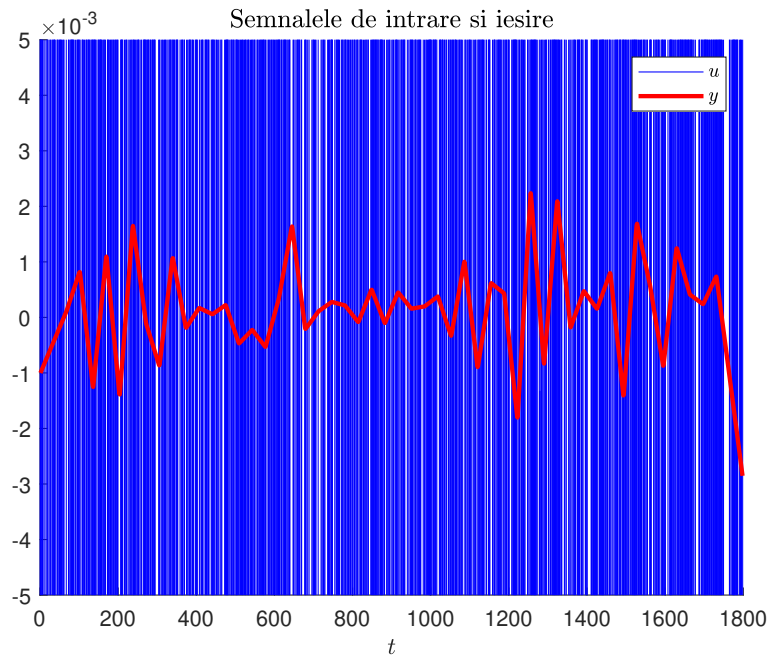


Figura 2.23: Semnalul de intrare și a doua derivată discretă a ieșirii

Se observă că semnalul rezultat are aproximativ aceeași medie cu semnalul exogen, iar deviația standard este cu mult mai mică decât cea a intrării:

$$media = 1.3140 \cdot 10^{-4} \approx 0$$

$$std = 6.6946 \cdot 10^{-4} \ll 1$$